

УДК 519.6

ОБХОДЫ С УПОРЯДОЧЕННЫМ ОХВАТЫВАНИЕМ В ПЛОСКИХ ГРАФАХ

Т. А. Панюкова

Описан алгоритм построения покрытия плоского связного графа без висячих вершин минимальной по мощности последовательностью цепей с упорядоченным охватыванием и доказана его результативность. Вычислительная сложность алгоритма равна $O(|E| \cdot \log_2 |V|)$.

Введение

Многие задачи нахождения маршрутов, удовлетворяющих определённым ограничениям, появились из конкретных практических ситуаций. В задачах раскроя листового материала плоский граф является моделью раскройного плана, а маршрут, покрывающий все рёбра, определяет траекторию режущего инструмента. При этом требуется, чтобы отрезанная от листа часть не требовала дополнительных разрезов.

Если H_S — топологическое представление абстрактного планарного графа H на плоскости S , то H_S в соответствии с [1] называют *плоским графом*, компоненты связности множества $S \setminus H_S$ называют *гранями* плоского графа H_S , а множество граничных точек грани — её *краем*; теоретико-множественное объединение краёв всех граней равно H_S . Поэтому каждое ребро и каждая вершина принадлежат краю хотя бы одной грани, и ясно также, что никакое ребро (в отличие от вершины) не может принадлежать краям более чем двух граней. Ровно одна из граней плоского графа H_S является *внешней* (бесконечной). Остальные грани, в отличие от внешней, называют *внутренними*.

Пусть на плоскости S задан плоский эйлеров граф $G = (V, E)$, и пусть f_0 — внешняя (бесконечная) грань графа G . Для любой части графа $J \subseteq G$ обозначим через $\text{Int}(J)$ теоретико-множественное объединение его внутренних граней. Множества вершин, рёбер и граней графа J будем обозначать через $V(J)$, $E(J)$ и $F(J)$ соответственно, а через $|M|$ — число элементов множества M .

Любой маршрут в графе G будем рассматривать как часть графа, содержащую все вершины и рёбра, принадлежащие маршруту. Тогда с формальной точки зрения сформулированное выше ограничение требует отсутствия пересечения внутренних граней любой начальной части маршрута в заданном плоском графе G с рёбрами в его оставшейся части [7].

Представление плоского графа $G = (V, E)$ с точностью до гомеоморфизма однозначно определяется заданием для каждого ребра $e \in E$ следующих функций [7]:

$v_1(e), v_2(e)$ — вершины, инцидентные ребру e ;

$f_k(e)$ — грань, находящаяся слева при движении по ребру e от вершины $v_k(e)$ к вершине $v_{3-k}(e)$, $k = 1, 2$;

$l_k(e)$ — ребро, принадлежащее грани $f_k(e)$ и инцидентное вершине $v_k(e)$, $k = 1, 2$.

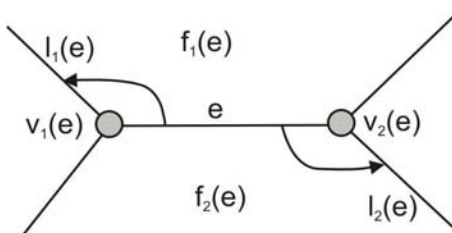


Рис. 1. Представление плоского графа

Введённые функции изображены на рис. 1. Их построение не составляет проблем. Сложность такого представления равна $O(|E| \cdot \log_2 |V|)$.

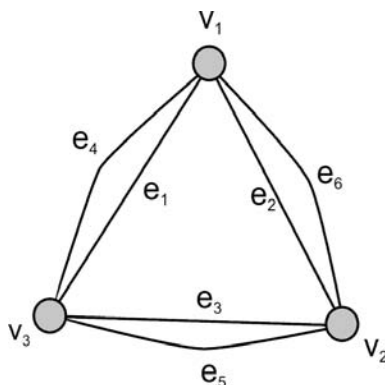


Рис. 2. Пример эйлерова графа

В соответствии с [7] будем говорить, что цепь $C = v_1 e_1 v_2 e_2 \dots e_k v_{k+1}$ имеет *упорядоченное охватывание*, если для любой её начальной части $C_l = v_1 e_1 v_2 \dots e_l$, $l \leq k$, выполнено условие $\text{Int}(C_l) \cap E = \emptyset$.

Например, для плоского эйлерова графа, изображённого на рис. 2, цикл $v_1e_1v_3e_3v_2e_2v_1e_4v_3e_5v_2e_6v_1$ удовлетворяет условию упорядоченного охватывания, а цикл $v_1e_4v_3e_5v_2e_6v_1e_1v_3e_3v_2e_2v_1$ не удовлетворяет, так как $\text{Int}(v_1e_4v_3e_5v_2e_6v_1) \supset \{e_1, e_2, e_3\}$.

Существование эйлеровых циклов с упорядоченным охватыванием в плоских эйлеровых графах доказано в [6, 7]. Рекурсивные алгоритмы построения таких циклов представлены в [4, 7]. Алгоритм построения маршрута с упорядоченным охватыванием в плоском графе произвольного вида предложен в [5]. Он имеет вычислительную сложность не более $O(|E|^2)$. В [6] предложен эффективный алгоритм построения циклов с упорядоченным охватыванием в плоских эйлеровых графах, имеющих вычислительную сложность $O(|E| \cdot \log_2 |V|)$. Возможность покрытия неэйлеровых плоских графов последовательностью цепей с упорядоченным охватыванием анонсировалась в [2, 3].

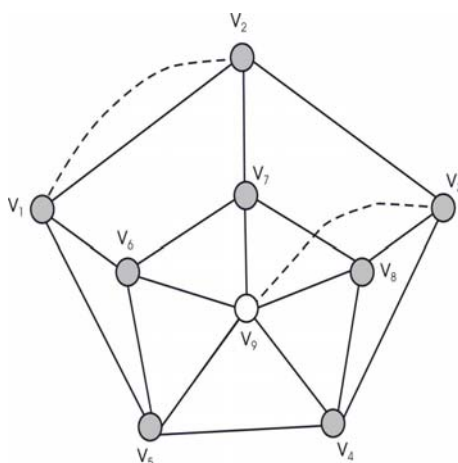


Рис. 3.

Цель настоящей статьи — описание алгоритма построения покрытия произвольного плоского связного графа без висячих вершин последовательностью цепей с упорядоченным охватыванием, а также доказательство его результативности.

1. Построение покрытия плоского графа последовательностью цепей с упорядоченным охватыванием

Легко заметить, что любой граф можно достроить до эйлерова добавлением $n/2$ рёбер, где n — число вершин нечётной степени в исходном графе. При условии сохранения планарности данного представления

графа дополнение $n/2$ рёбер возможно лишь в случае, когда в графе найдётся такое разбиение вершин нечётной степени на пары, что вершины одной пары окажутся инцидентными одной грани. На рис. 3 этому требованию удовлетворяют вершины v_1, v_2 и v_3 . Для вершины v_9 такой пары не существует. Следовательно, в общем случае нужно искать другие решения.

В [3] доказано следующее утверждение.

Теорема 1. Пусть $G = (V, E)$ — плоский связный граф на S без висячих вершин. Существует множество рёбер F , $(F \cap S) \setminus V = \emptyset$, такое, что граф $\hat{G} = (V, E \cup F)$ — эйлеров, и в \hat{G} существует эйлеров цикл $C = v_1 e_1 v_2 e_2 \dots e_n v_1$, $n = |E| + |F|$, для любой начальной части которого $C_l = v_1 e_1 v_2 e_2 \dots v_l$, $l \leq |E| + |F|$, выполнено условие $\text{Int}(C_l) \cap E = \emptyset$.

Доказательство теоремы даёт результативность приведённого ниже алгоритма `OrderedEnclosingCover`, который строит покрытие плоского графа G последовательностью цепей с упорядоченным охватыванием. Граф G представлен списком рёбер с заданными на них функциями $v_k(e)$, $l_k(e)$, $f_k(e)$, $k = 1, 2$.

АЛГОРИТМ `OrderedEnclosingCover`

(Input: $G = (V, E)$ — плоский граф; $\text{odd } V$ — множество вершин нечётной степени.

Output: $\text{first} \in E$, $\text{last} \in E$, $\text{mark}_1 | E \rightarrow E$).

begin

Initiate();

Order();

Сортировка списка вершин нечётной степени по убыванию ранга:

SortOdd();

while ($\text{odd } V \neq \emptyset$) **do**

$v^0 = \arg \max_{v \in \text{odd } V} \text{kmark}(v)$;

$\text{odd } V = \text{odd } V \setminus \{v^0\}$;

$v = \text{FormChain}(v^0)$;

$\text{odd } V = \text{odd } V \setminus \{v\}$;

od

FormChain(v_0);

end.

При описании и анализе алгоритма будем использовать обозначения $\bar{v}_k(\)$, $\bar{l}_k(\)$, $\bar{f}_k(\)$, $k = 1, 2$, для функций, построенных алгоритмом, в отличие от первоначально заданных функций $v_k(\)$, $l_k(\)$, $f_k(\)$, $k = 1, 2$.

В теле алгоритма также формируются дополнительные функции:

Stack: $V \rightarrow E$ — указатель на очередь v -списка M2-помеченных рёбер;

$\text{mark}_k(\) : E \rightarrow E$ и $\text{prev}_k(\) : E \rightarrow E$, $k = 1, 2$, для организации двусвязных списков с целью обеспечения операций вставки/удаления за время $O(1)$.

Кроме того, функция $\text{mark}_1(\)$ используется для представления результата выполнения алгоритма.

Алгоритм `OrderedEnclosingCover` состоит из последовательного выполнения процедур `Initiate`, `Order`, `SortOdd(\)`, $n/2$ -кратного выполнения `FormChain(\)` ($n = |\text{odd } V|$) и, наконец, при необходимости ещё одного выполнения процедуры `FormChain(\)`.

В алгоритме также используется следующая процедура

Процедура REPLACE

(Input: e — ребро, для которого нужно изменить нумерацию вершин)

```
begin
     $t_1 = v_2(e); t_2 = l_2(e);$ 
     $v_2(e) = v_1(e); l_2(e) = l_1(e);$ 
     $v_1(e) = t_1; l_1(e) = t_2;$ 
end.
```

Данная процедура переопределяет введённые функции $v_k(e)$, $l_k(e)$, $f_k(e)$, $k = 1, 2$, так, что в построенном алгоритмом цикле движение по ребру $e \in E$ происходит от вершины $v_2(e)$ к вершине $v_1(e)$.

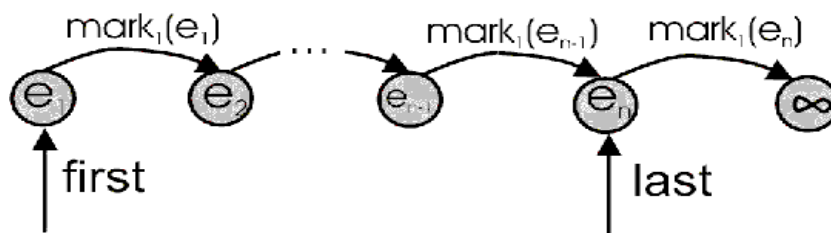


Рис. 4. Организация очереди M1-помеченных рёбер

В теле следующей процедуры

Процедура Initiate

```
begin
     $(\forall v \in V) \text{ do } \text{Stack}(v) = \emptyset \text{ od};$ 
     $\forall e \in E \text{ do}$ 
         $\text{mark}_1(e) = \text{mark}_2(e) = \infty;$ 
         $\text{prev}_1(e) = \text{prev}_2(e) = 0;$ 
        if  $((f_1(e) = f_0) \text{ or } (f_2(e) = f_0)) \text{ } e_0 = e;$ 
    od
    if  $(f_2(e_0) = f_0) \text{ REPLACE}(e_0);$ 
     $\text{first} = \text{last} = e_0; v_0 = v = v_1(e_0); ne = l_1(e_0);$ 
     $k = 1; \text{kmark}(e_0) = 1;$ 
end.
```

присваиваются начальные значения $\text{Stack}(v) = \emptyset$, $v \in V$, $\text{mark}_1(e) = \infty$, $e \in E$, а также определяется ребро $e_0 \in E$, принадлежащее границе внешней грани f_0 . Функции на ребре e_0 переопределяются так, что

$\bar{f}_1(e_0) = f_0$, т. е. чтобы ребро $\bar{l}_1(e_0)$ принадлежало границе внешней грани. В теле данной функции инициализируется очередь М1-помеченных рёбер (рис. 4), состоящая из единственного ребра e_0 , переменные `first` и `last` используются для указания соответственно первого и последнего элементов очереди. Переменная `ne` используется для определения следующего кандидата для включения в список М1-помеченных рёбер. Переменная v_0 используется для запоминания вершины, принадлежащей границе внешней грани, а переменная v — как текущая вершина для задания ориентации ребра, определяемого переменной `ne`.

Процедура Order

```

begin
  while ( first  $\neq$   $\infty$  ) do
    while ( mark(ne)=  $\infty$  and last  $\neq$  ne ) do
      M1: kmark(ne)= k;
      mark1 (last)=ne;
      if (v2(ne)  $\neq$  v) REPLACE(ne);
      v = v1(ne); last=ne; ne= l1(ne);
    od
    e =first; first=mark1(first); v = v2(e); ne= l2(e);
    M2: k =kmark(e)+1; mark1(e) =Stack(v1(e)); mark2(e) =Stack(v);
    if (mark1(e)  $\neq$  0) do
      if (v1(e) = v1(mark1(e))) prev1(mark1(e)) = e;
      else prev2(mark1(e)) = e;
    od
    if (mark2(e)  $\neq$  0) do /* Помещение ребра в стеки вершин v1(e) и v2(e) */
      if (v = v1(mark2(e))) prev1(mark2(e)) = e; else prev2(mark2(e)) = e;
    od
    Stack(v) = e; Stack(v1(e)) = e;
  od
end.

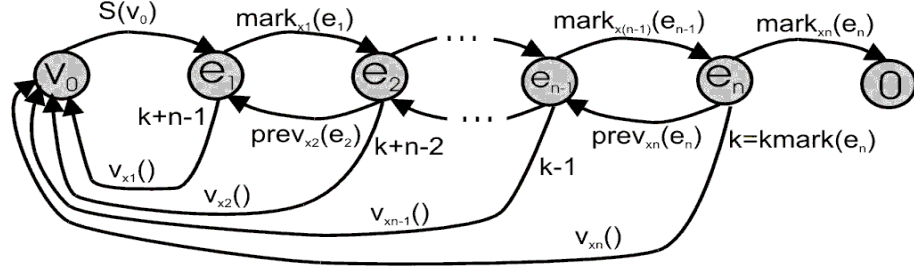
```

Функциональное назначение процедуры Order состоит в определении на каждом ребре $e \in E$ значения `kmark(e)`; в формировании для каждой вершины списка инцидентных рёбер (рис. 5), упорядоченных в порядке убывания значения `kmark()`.

В процедуре Order переменная k — число шагов, а функция `kmark()` : $E \rightarrow N$ равна номеру шага, на котором ребро ставится в очередь М1-помеченных рёбер.

Данная процедура выполняется следующим образом. На первом шаге в очередь М1-помеченных рёбер вводятся все рёбра $e \in E$, инцидентные внешней грани f_0 , а их ориентация задаётся так, чтобы выполнялось равенство $\bar{f}_1(e) = f_0$. На $(k + 1)$ -м шаге каждое ребро $e \in E$, попавшее в очередь М1-помеченных рёбер на шаге k , переводится в состояние М2-помеченного и помещается в списки вершин $\bar{v}_l(e)$, $l = 1, 2$, (см. рис. 5),

а в очередь M1-помеченных включаются все непомеченные рёбра, инцидентные грани, общей с ребром e .



$$x_k = \begin{cases} 1, & \text{если } v_1(e_k) = v_0; \\ 2, & \text{если } v_2(e_k) = v_0. \end{cases}$$

Рис. 5. Организация v_0 -списка M2-помеченных рёбер

Для анализа результативности алгоритма положим

$$E_k = \{e \in E \mid kmark(e) = k\}, \quad E_k^* = \{e \in E : kmark(e) \leq k\}, \quad \bar{E}_k = E \setminus E_k^*.$$

Через $G(E')$ будем обозначать плоский граф, порождённый множеством рёбер $E' \subset E$.

Лемма 1. Для любого $k = 1, 2, 3, \dots, M$, где $M = \max_{e \in E} kmark(e)$,

$$\text{Int}(G(E_k)) \supset G(\bar{E}_k); \quad S \setminus \text{Int}(G(E_k)) \supset G(E_k^*).$$

ДОКАЗАТЕЛЬСТВО проведём методом математической индукции по k . Из описания алгоритма следует, что $k = 1$ при выполнении процедуры Initiate, а значения $kmark(\) = 1$ устанавливаются только на рёбрах, вводимых в очередь M1-помеченных при первом выполнении тела внешнего цикла в процедуре Order. В соответствии с описанием процедуры Initiate рёбра e_0 и $e_1 = \bar{l}_1(e_0)$ инцидентны внешней грани f_0 графа G , значение переменной не указывает на ребро e_1 , а значение переменной $v = v_1(e_0)$ — на вершину v_1 , инцидентную рёбрам e_0 и e_1 . Поэтому при первом выполнении тела цикла Order в очередь M1-помеченных рёбер будут последовательно внесены все рёбра цепи $v_1 e_1 v_2 e_2 \dots e_m v_{m+1}$, удовлетворяющей условиям:

$$\begin{aligned} v_2 = e_1 = v_1, \quad \bar{v}_2(e_{i+1}) = v_{i+1} = \bar{v}_1(e_i), \quad 1 \leq i \leq m, \\ e_{i+1} = l_1(e_i), \quad \bar{f}_1(e_i) = \bar{f}_1(e_1), \quad 1 \leq i \leq m - 1, \quad \bar{l}_1(e_m) = e_0. \end{aligned}$$

Таким образом, значение $\text{kmark}(\) = 1$ будет определено на всех рёбрах, инцидентных внешней грани f_0 графа G . В этом случае справедливость утверждений леммы очевидна.

Предположим, что доказываемые утверждения имеют место для K , где $k < K \leq M$. Рассмотрим множество

$$F_{K-1} = \{e \in E_{K-1} \mid l_2(e) \notin E_{K-1}^*\}.$$

Из связности графа G и включения $F_{K-1} \subset \text{Int}(G(E_K))$ следует, что $F_{K-1} \neq \emptyset$. Поэтому в соответствии с описанием алгоритма значение функции $\text{kmark}(\) = K$ будет определено на рёбрах, максимальных по включению цепей $C(e) = v_1 e_1 v_2 e_2 \dots e_m v_{m+1}$, $e \in F_{K-1}$, удовлетворяющих условиям

$$\begin{aligned} v_1 &= \bar{v}_2(e), \quad e_1 = \bar{l}_2(e); \quad \bar{v}_2(e_{i+1}) = v_{i+1} = \bar{v}_1(e_i), \quad 1 \leq i \leq m; \\ e_{i+1} &= \bar{l}_1(e_i), \quad \text{mark}(e_{i+1}) = \infty, \quad 1 \leq i \leq m-1; \quad \bar{f}_1(e_i) = \bar{f}_2(e), \quad 1 \leq i \leq m. \end{aligned}$$

Таким образом, $E_K = \bigcup_{e \in F_{K-1}} E(C(e))$ и все цепи $C(e)$, $e \in F$, являются непересекающимися по рёбрам. Из связности графа G и отсутствия в нём висячих вершин следует, что последняя вершина v_{m+1} в цепи $C(e)$, $e \in F_{K-1}$, принадлежит $V(E_{K-1})$, где $V(E_{K-1})$ — множество вершин, инцидентных рёбрам из E_{K-1} .

Если цепь $C(e)$, $e \in F_{K-1}$, такая, что $v_1 = v_{m+1}$, то $C(e)$ — цикл. Если $v_1 \neq v_{m+1}$, то в цепи, содержащей ребро $\bar{l}_1(e_m)$, существует единственное ребро $e' \in F_{K-1}$ такое, что $\bar{v}_2(e') = v_{m+1}$, поскольку $G^*(E_{K-1})$ — объединение непересекающихся по рёбрам цепей.

Кроме того, по построению имеем

$$\text{Int}(G(E_K)) = \text{Int}(G(E_{K-1})) \setminus \left(\bigcup_{e \in E_K} \bar{f}_1(e) \right), \quad (1)$$

$$S \setminus \text{Int}(G(E_K)) = \left(\bigcup_{e \in E_K} \bar{f}_1(e) \right) \cup (S \setminus \text{Int}(G(E_{K-1}))). \quad (2)$$

Поскольку $\bar{E}_K \subset \bar{E}_{K-1} \subseteq \text{Int}(G(E_{K-1}))$, $\bar{E}_K \not\subset \bigcup_{e \in E_K} \bar{f}_1(e)$, то из (1)

следует, что $S \setminus \text{Int}(G(E_K)) \supseteq \bar{E}_K$.

Так как

$$E_K^* \subseteq E_{K-1}^* \cup E_K, \quad E_K \subseteq \bigcup_{e \in E_K} \bar{f}_1(e), \quad E_{K-1}^* \subseteq S \setminus \text{Int}(G(E_K))$$

то из (2) следует, что $S \setminus \text{Int}(G(E_K)) \supseteq E_K^*$. Лемма 1 доказана.

Лемма 2. Если $M = \max_{e \in E} \text{kmark}(e)$, то $\bar{E}_M = \emptyset$.

ДОКАЗАТЕЛЬСТВО. Предположим противное, т. е. $\bar{E}_M \neq \emptyset$. Из леммы 1 следует, что $\bar{E}_M \subseteq \text{Int}(E_M)$.

Рассмотрим множество $F_M = \{e \in E_M \mid \bar{l}_2(e) \in \bar{E}_M\}$. Из связности графа G следует, что $F_M \neq \emptyset$. В соответствии с описанием алгоритма

$$(\forall e \in F_M) (\text{kmark}(e) = M + 1),$$

т. е. имеем противоречие с условием леммы. Лемма 2 доказана.

Из леммы 2 следует, что на каждом ребре $e \in E$ алгоритм определит значение функции $\text{kmark}(\cdot)$, т. е. каждое ребро $e \in E$ будет включено в очередь М1-помеченных рёбер. Так как после включения ребра $e \in E$ в эту очередь $\text{mark}_1(e) \neq \infty$, то такое включение возможно единственный раз. Каждое ребро, попавшее в очередь М1-помеченных рёбер, переводится в состояние М2-помеченного включением его в стеки вершин $\bar{v}_k(e)$, $k = 1, 2$, в порядке, определяемом очередью, т. е. в порядке возрастания величины $\text{kmark}(e)$. Поэтому после завершения процедуры Order для каждой вершины $v \in V$ будем иметь $\text{Stack}(v) = \arg \max_{e \in E(v)} \text{kmark}(e)$;

$$\begin{aligned} & \left(e' \in E(v), \text{kmark}(e') > \min_{e \in E(v)} \text{kmark}(e) \right) \\ & \Rightarrow (\exists e'' = \text{mark}_x(e') \in E(v), \text{kmark}(e'') = \text{kmark}(e') - 1), \end{aligned}$$

где $E(v) = \{e \in E \mid (v = \bar{v}_2(e)) \vee (v = \bar{v}_1(e))\}$,

$$x = \begin{cases} 1, & \text{если } v_1(e') = v; \\ 2, & \text{если } v_2(e') = v. \end{cases}$$

Таким образом, результативность процедуры Order доказана.

После выполнения процедуры Order выполняется упорядочение вершин нечётной степени $v \in \text{odd}V$ в порядке возрастания их ранга с помощью процедуры SortOdd. За ранг вершины v принимается значение функции $\text{kmark}(\text{Stack}(v))$. Далее выполняется цикл while...do с использованием процедуры FormChain, в которой строится последовательность из $|\text{odd}V|/2$ простых цепей между парами вершин нечётной степени. Эта процедура строит цепь с упорядоченным охватыванием, начинающуюся в заданной вершине $w \in \text{odd}V$ и заканчивающуюся в некоторой вершине $v \in \text{odd}V$, $v \neq w$.

Процедура FormChain

(Input: w — вершина нечётной степени, из которой будет построена цепь
 Output: v — вершина нечётной степени, завершающая построенную цепь)

```

begin
   $v = w$ ;  $e = \text{Stack}(v)$ ;  $\text{first} = \text{last} = e$ ;
  do
    if ( $v_1(e) = v$ ) REPLACE( $e$ );
     $\text{Stack}(v) = \text{mark}_2(e)$ ;
    if ( $v = v_1(\text{mark}_2(e))$ )  $\text{prev}_1(\text{mark}_2(e)) = 0$ ; else  $\text{prev}_2(\text{mark}_2(e)) = 0$ ;
     $v = v_1(e)$ ;
    if ( $\text{prev}_1(e) \neq 0$ )
      if ( $e = \text{mark}_1(\text{prev}_1(e))$ )  $\text{mark}_1(\text{prev}_1(e)) = \text{mark}_1(e)$ ;
      else  $\text{mark}_2(\text{prev}_1(e)) = \text{mark}_1(e)$ ;
    else do
       $\text{Stack}(v) = \text{mark}_1(e)$ ;
      if ( $v = v_1(\text{mark}_1(e))$ )  $\text{prev}_1(\text{mark}_1(e)) = 0$ ; else  $\text{prev}_2(\text{mark}_1(e)) = 0$ ;
    od
    if ( $v \in \text{odd}(V)$ ) do
       $\text{mark}_1(\text{last}) = 0$ ;
      return  $v$ ;
    od
     $e = \text{Stack}(v)$ ;
    M3:  $\text{mark}_1(\text{last}) = e$ ;  $\text{last} = e$ ;
  od while ( $\text{last} \neq 0$ );
return  $v$ ;
end.
  
```

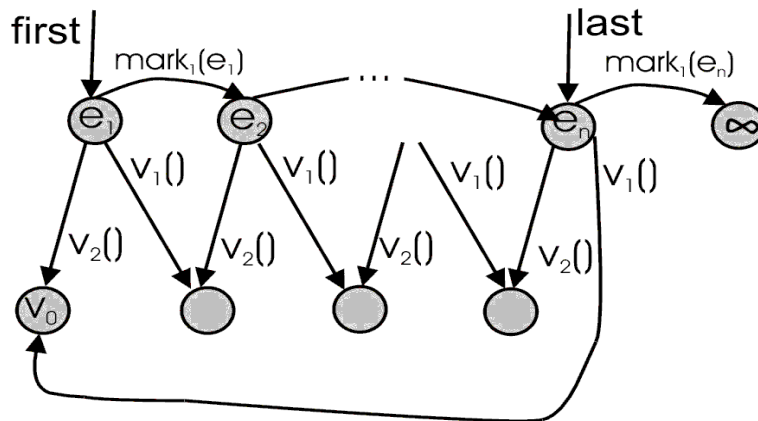


Рис. 6. Организация списка M3-помеченных рёбер

Сначала производится инициализация списка M3-помеченных рёбер (рис. 6), который будет являться представлением построенной цепи. Первоначально этот список состоит из ребра e , находящегося в начале w -

списка М2-помеченных рёбер. Вершина w определяется как текущая вершина v . В цикле do...while с помощью процедуры REPLACE устанавливается $\bar{v}_2(e) = v$ и ребро e исключается из $v_1(e)$ - и $v_2(e)$ -списков М2-помеченных рёбер, а текущей становится вершина $v_1(e)$. Если $v \notin \text{odd}V$, очередь М3-помеченных рёбер пополняется ребром e , в противном случае процедура возвращает текущую вершину $v \in \text{odd}V$.

Процедура FormChain строит простую цепь $C = v^0 e_1 v_1 e_2 \dots e_k v_k$ такую, что $v_1, v_2, \dots, v_{k-1} \notin \text{odd}V$, $v^0, v_k \in \text{odd}V$,

$$e_i = \arg \max_{e \in E(v_i) \setminus \{e_l \mid l < i\}} \text{kmark}(e), \quad v_{i+1} = \bar{v}_1(e_i), \quad 1 \leq i \leq k.$$

Кроме того, для любой начальной части $C_l = v^0 e_1 v_1 e_2 v_2 \dots e_l$, $l \leq k$, и для любой вершины $v \in V$ имеет место неравенство

$$\min_{e \in E(v) \cap E(C_l)} \text{kmark}(e) > \max_{e \in E(v) \setminus E(C_l)} \text{kmark}(e). \quad (3)$$

Лемма 3. Для любых $j = 1, 2, \dots, l$ и $m = 1, 2, \dots, M$, где $M = \max_{e \in E} \text{kmark}(e)$, множество $\text{Int}(C_j) \cap E_m$ пусто.

ДОКАЗАТЕЛЬСТВО. Воспользуемся методом математической индукции по переменной m .

Поскольку рёбра множества E_1 образуют цикл, ограничивающий внешнюю грань f_0 графа G , то $(\forall H \subseteq G) (E_1 \cap \text{Int}(H) = \emptyset)$, что доказывает справедливость леммы при $m = 1$.

Покажем, что из $\text{Int}(C_j) \cap E_m = \emptyset$, $1 \leq j \leq l$, $1 \leq m \leq K - 1$, где $K \leq M$ следует, что

$$\text{Int}(C_j) \cap E_m = \emptyset, \quad 1 \leq j \leq l. \quad (4)$$

Предположим противное, что найдётся l' такое, что

$$\text{Int}(C_{l'}) \cap E_m \neq \emptyset.$$

В силу леммы 1 $\text{Int}(G(E_m)) \supseteq \overline{E_m} = \{e \mid \text{kmark}(e) > m\}$, $1 \leq m \leq M$. Из связности графа G и леммы 1 следует, что множество $\text{Int}(C_{l'}) \cap E_m$ содержит ребро $e' \in E$ такое, что $v_2(e') = v \in V(C_{l'})$. Поэтому

$$\min_{e \in E(v) \cap EC_{l'}} \text{kmark}(e) < \text{kmark}(e') \leq \max_{e \in E(v) \setminus EC_{l'}} \text{kmark}(e),$$

что противоречит (3). Таким образом, справедливо равенство (4). Применяя принцип математической индукции, получаем утверждение леммы

$$\text{Int}(C_j) \cap E_m = \emptyset, \quad 1 \leq j \leq l, \quad 1 \leq m \leq M.$$

Лемма 3 доказана.

Доказательство леммы 3 завершает доказательство результативности процедуры FormChain.

В результате выполнения цикла while...do алгоритм OrderedEnclosingCover строит последовательность цепей с упорядоченным охватыванием

$$C^0 = v^0 e_1^0 v_1^0 e_2^0 \dots e_{k_0}^0 v_{k_0}^0, \quad C^1 = v^1 e_1^1 v_1^1 e_2^1 \dots e_{k_1}^1 v_{k_1}^1, \dots,$$

$$C^{n-1} = v^{n-1} e_1^{n-1} v_1^{n-1} e_2^{n-1} \dots e_{k_{n-1}}^{n-1} v_{k_{n-1}}^{n-1},$$

где $n = |\text{odd}V|/2$, такую, что $\text{odd} V = \{v^0, v_{k_0}, v^1, v_{k_1}, \dots, v^{n-1}, v_{k_{n-1}}\}$ и $\text{Int}(\bigcup_{i=0}^k C^i) \cap C^l = \emptyset$ при любых $k < (|\text{odd}V|/2) - 1$ и $l > k$.

После этого выполняется процедура FormChain для вершины v_0 , инцидентной с внешней гранью. Результатом выполнения данной процедуры будет цикл с упорядоченным охватыванием C^n , состоящий из рёбер, не содержащихся в цепях C^i , $0 \leq i \leq n-1$, где $n = |\text{odd}V|/2$.

Легко заметить, что число шагов алгоритма B не превосходит $O(|E| \cdot \log_2 |V|)$.

Для доказательства теоремы 1 осталось заметить, что в качестве множества рёбер F , существование которого утверждается в теореме, можно взять следующее: $F = \{\{v_{k_0}, v^1\}, \{v_{k_1}, v^2\}, \dots, \{v_{k_{n-2}}, v^{n-1}\}\}$, если существует вершина нечётной степени, инцидентная с внешней гранью, либо $F = \{\{v_{k_0}, v^1\}, \{v_{k_1}, v^2\}, \dots, \{v_{k_{n-1}}, v_0\}\}$ в противном случае. Вершины v_{k_i} и v^i , $i = 0, \dots, n-1$, принадлежат приведённому выше множеству $\text{odd}V$, а вершина v_0 — любая вершина, инцидентная с внешней гранью. Искомым циклом будет

$$C = C^0\{v_{k_0}, v^1\}C^1\{v_{k_1}, v^2\} \dots C^{n-1}\{v_{k_{n-2}}, v^{n-1}\}C^n.$$

Теорема 1 доказана.

2. Заключение

Алгоритм OrderedEnclosingCover строит покрытие плоского связного графа без висячих вершин минимальной по мощности последовательностью цепей с упорядоченным охватыванием за число шагов, не превосходящее $O(|E| \cdot \log_2 |V|)$.

Автор благодарен А. В. Косточке и Л. С. Мельникову за полезные замечания, сделанные на конференции DAOR'2002.

ЛИТЕРАТУРА

1. **Зыков А. А.** Основы теории графов. М.: Вузовская книга, 2004.
2. **Панюков А. В., Панюкова Т. А.** Эйлеровы циклы с упорядоченным охватыванием // Проблемы теоретической кибернетики. Тезисы докладов XII Международной конференции (Нижний Новгород, 17–22 мая 1999 г.). Часть II. М.: Изд-во механико-математического факультета МГУ, 1999. С. 148.
3. **Панюкова Т. А.** Алгоритм построения эйлеровых циклов специального вида. // Проблемы теоретической кибернетики. Тезисы докладов XIII Международной конференции (Казань, 27–31 мая 2002 г.). Часть II. М.: Изд-во механико-математического факультета МГУ, 2002. С. 142.
4. **Панюкова Т. А.** Построение эйлеровых циклов специального вида в планарном графе // Материалы VII Международного семинара «Дискретная математика и её приложения»; Ч. II М.: Изд-во центра прикладных исследований при механико-математическом факультете МГУ, 2001. С. 149.
5. **Панюкова Т. А.** Построение маршрутов с упорядоченным охватыванием в плоских графах // Труды 36-й Региональной молодежной конференции «Проблемы теоретической и прикладной математики». Екатеринбург: УрО РАН, 2005. С. 61–66.
6. **Panyukov A. V., Panioukova T. A.** The algorithm for tracing of flat Euler cycles with ordered enclosing // Proceedings of Chelyabinsk Scientific Center #4(9), 2000. P. 18–22. http://csc.ac.ru/news/2000_4/2000_4_1_4.zip
7. **Panioukova T. A., Panyukov A. V.** Algorithms for construction of ordered enclosing traces in planar Eulerian graphs // The International Workshop on Computer Science and Information Technologies' 2003 (Ufa, September 16–18, 2003). Proc. Vol. 1. Ufa: Ufa State Technical University, 2003. P. 134–138.

Адрес автора:

Южно-Уральский гос. университет
пр. Ленина, 76,
454080 Челябинск,
Россия.
E-mail: kwark@mail.ru

Статья поступила

14 февраля 2005 г.

Переработанный вариант —

24 сентября 2006 г.